

## О магнитосопротивлении органических комплексов $(BEDT-TTF)_2M\text{Hg}(\text{SCN})_4$

В. Г. Песчанский<sup>1,2</sup>, Раид Атала<sup>3</sup>

<sup>1</sup> Физико-технический институт низких температур им. Б. И. Веркина НАН Украины  
пр. Ленина, 47, г. Харьков, 61103, Украина  
E-mail: vpeschansky@ilt.kharkov.ua

<sup>2</sup> Харьковский национальный университет им. В. Н. Каразина  
пл. Свободы, 4, г. Харьков, 61077, Украина

<sup>3</sup> Physics Department of Bir-Zeit University, P. O. Box 28, Bir-Zeit, West Bank, Israel

Статья поступила в редакцию 26 июня 2001 г.

Согласно зонным расчетам электронного энергетического спектра органических комплексов  $(BEDT-TTF)_2M\text{Hg}(\text{SCN})_4$ , где М — один из металлов группы К, Rb, Tl, помимо основной группы носителей заряда с квазидвумерным спектром должна быть и группа носителей заряда с квазиодномерным спектром [R. Rossenau et al., *J. Phys (Paris)* **6**, 1527 (1996)]. Рассмотрены гальваномагнитные явления в квазидвумерных проводниках с многогистной поверхностью Ферми. Показана возможность определения степени квазиодномерности дополнительного листа поверхности Ферми в виде гофрированных плоскостей.

Згідно зонних розрахунків електронного енергетичного спектра органічних комплексів  $(BEDT-TTF)_2M\text{Hg}(\text{SCN})_4$ , де М — один з металів групи К, Rb, Tl, окрім основної групи носіїв заряду з квазідвомірним спектром повинна бути також група носіїв заряду з квазіодновимірним спектром [R. Rossenau et al., *J. Phys (Paris)* **6**, 1527 (1996)]. Розглянуто гальваномагнітні явища в квазідвомірних провідниках з багатолистовою поверхнею Фермі. Показано можливість визначення ступеня квазіодновимірності додаткового листа поверхні Фермі у виді гофрованих площин.

PACS: 81.40.Rs, 75.70.Cn

Комpleксы переноса заряда органического происхождения на основе тетратиафульвалена представляют собой слоистые структуры с металлическим типом электропроводности с резкой анизотропией. Электропроводность поперек слоев на несколько порядков меньше электропроводности вдоль слоев, и есть все основания полагать, что электронный энергетический спектр этих органических комплексов является квазидвумерным.

Энергия носителей заряда в квазидвумерных проводниках

$$\begin{aligned}\epsilon(\mathbf{p}) = \sum_{n=0}^{\infty} \epsilon_n(p_x, p_y) \cos \left[ \frac{anp_z}{\hbar} + \alpha_n(p_x, p_y) \right], \\ \alpha_n(p_x, p_y) = -\alpha_n(-p_x, -p_y)\end{aligned}\quad (1)$$

слабо зависит от проекции импульса  $p_z = \mathbf{p} \cdot \mathbf{n}$  на нормаль к слоям  $\mathbf{n}$ , а поверхность Ферми  $\epsilon(\mathbf{p}) = \epsilon_F$  является открытой со слабой гофрировкой вдоль оси  $p_z$ . Здесь  $a$  — расстояние между слоями;  $\hbar$  — постоянная Планка, а функции  $\epsilon_n(p_x, p_y)$  убывают с ростом номера  $n$ , так что максимальное значение функции  $[\epsilon(\mathbf{p}) - \epsilon_0(p_x, p_y)]$ , равное на поверхности Ферми  $\eta \epsilon_F$ , много меньше энергии Ферми  $\epsilon_F$ .

После обнаружения эффекта Шубникова—де Гааза в достаточно совершенных монокристаллических образцах органических проводников  $(BEDT-TTF)_2\text{JBr}_2$  и  $(BEDT-TTF)_2\text{J}_3$  [1,2] при низких температурах в сильных магнитных полях  $\mathbf{H}$  порядка 10–20 Тл стало ясно, что длина свободного пробега носителей заряда  $l$  в слоистых проводниках органического происхождения может значительно превышать радиус кривизны  $r_h$

траектории электронов проводимости в реально достижимом ныне магнитном поле.

Квантовые осцилляционные эффекты [3,4] в таких образцах весьма чувствительны к виду электронного энергетического спектра, и их экспериментальное исследование позволяет решить обратную задачу определения по экспериментальным данным экстремальных замкнутых сечений поверхности Ферми плоскостью  $p_H = \mathbf{pH}/H = \text{const}$  [5,6]. По сути, все кинетические характеристики вырожденных проводников в сильном магнитном поле ( $r_H \ll l$ ) чувствительны к виду энергетического спектра носителей заряда, а их экспериментальное исследование позволяет полностью восстановить поверхность Ферми — основную характеристику спектра электронов проводимости. Наличие открытых сечений поверхности Ферми плоскостью  $p_H = \text{const}$  приводит к резкой анизотропии магнитосопротивления в сильном магнитном поле. Исследование этой анизотропии позволяет полностью восстановить топологию поверхности Ферми [7–9].

В квазидвумерных проводниках в формирование квантовых осцилляционных эффектов вовлечено значительное число носителей заряда с энергией Ферми. При низких температурах, когда температурное размытие фермиевской функции распределения носителей заряда много меньше расстояния между квантованными уровнями их энергии, а частота диссипативных столкновений электрона проводимости  $1/\tau$  значительно превышает частоту его обращения в магнитном поле  $\Omega = eH/m^*c$ , амплитуда осцилляций магнитосопротивления оказывается сравнимой с монотонно меняющейся с  $H$  частью магнитосопротивления. Здесь  $e$  — заряд электрона;  $m^*$  — его циклотронная эффективная масса;  $c$  — скорость света.

Яркое проявление эффекта Шубникова–де Гааза в магнитосопротивлении большого семейства ион-радикальных солей на основе тетратиафульвалена в магнитном поле  $\mathbf{H} = (0, H \sin \theta, H \cos \theta)$  в широком интервале углов  $\theta$  между векторами  $\mathbf{H}$  и  $\mathbf{n}$  (см. обзорные статьи [10,11] и цитированную в них литературу) свидетельствует о том, что по крайней мере один лист поверхности Ферми представляет собой слабогофрированный цилиндр, плоские сечения которого  $p_H = \text{const}$  при  $\theta$ , отличном от  $\pi/2$ , являются замкнутыми.

Нетрудно показать, что вклад группы носителей заряда, состояния которых принадлежат листу поверхности Ферми в виде слабогофрированного цилиндра, в компоненты тензора электропроводности  $\sigma_{ik}$ , связывающего в приближении закона Ома плотность тока  $\mathbf{j}$  с электрическим

полем  $E_i$ , при  $\gamma = 1/\Omega\tau \ll 1$  и  $\eta \tan \theta \ll 1$  имеет вид

$$\sigma_{ik} = \begin{pmatrix} \gamma^2 a_{xx} & \gamma a_{xy} & \eta^2 a_{xz} \\ \gamma a_{yx} & \gamma^2 a_{yy} + \sigma_{zz} \tan^2 \theta & \eta^2 a_{yz} + \sigma_{zz} \tan \theta \\ \eta^2 a_{zx} & \eta^2 a_{zy} + \sigma_{zz} \tan \theta & \sigma_{zz} \end{pmatrix}, \quad (2)$$

где компоненты матрицы  $a_{ik}$  по порядку величины совпадают с электропроводностью вдоль слоев  $\sigma_0$  в отсутствие магнитного поля.

Значительное сопротивление электрическому току, протекающему поперек слоев, связано с медленным дрейфом носителей заряда вдоль нормали к слоям со скоростью

$$v_z = - \sum_{n=1}^{\infty} \frac{an}{\hbar} \epsilon_n(p_x, p_y) \sin \left[ \frac{anp_z}{\hbar} + \alpha_n(p_x, p_y) \right], \quad (3)$$

так что  $\sigma_{zz}$  по крайней мере пропорциональна  $\eta^2$ .

Модель поверхности Ферми в виде слабогофрированного цилиндра достаточно хорошо согласуется с результатами экспериментального исследования магнитосопротивления большого семейства солей тетратиафульвалена. Однако поверхность Ферми слоистых проводников может быть и многолистной. Помимо гофрированного цилиндра возможны также листы в виде гофрированных плоскостей со слабой гофрировкой вдоль оси  $p_z$ . Например, поверхность Ферми солей  $(BEDT-TTF)_2\text{MHg}(\text{SCN})_4$ , где М — один из металлов группы K, Rb, Tl, согласно зонным расчетам электронного энергетического спектра [12], помимо слабогофрированного цилиндра содержит два квазидвумерных листа. Чтобы выяснить в какой мере согласуются эти расчеты с экспериментально наблюдаемыми зависимостями магнитосопротивления от величины сильного магнитного поля  $\mathbf{H} = (0, H \sin \theta, H \cos \theta)$ , рассмотрим гальваномагнитные явления в квазидвумерных проводниках, у которых поверхность Ферми состоит из слабогофрированного цилиндра и двух слабогофрированных плоскостей, а нормаль к ним прикасающейся с ними плоскости отклонена от оси  $p_x$  на угол  $\phi$ . Мы не будем конкретизировать форму этих плоскостей, полагая произвольной их гофрировку в плоскости  $p_x p_y$ , а слабость гофрировки вдоль оси  $p_z$  будем считать такой же, как и листа поверхности Ферми в виде гофрированного цилиндра.

В случае нескольких групп носителей заряда все они вносят вклад в электрический ток, так что суммарная электропроводность представляет собой сумму электропроводности каждой группы электронов проводимости

$$\sigma_{ik} = \sigma_{ik}^{(1)} + \sigma_{ik}^{(2)}, \quad (4)$$

где  $\sigma_{ik}^{(1)}$  — вклад в электропроводность носителей заряда, состояния которых принадлежат слабо-гофрированным плоским листам поверхности Ферми, а в  $\sigma_{ik}^{(2)}$  вносят вклад электроны проводимости, принадлежащие слабо-гофрированному цилиндуру.

Если открытые сечения гофрированного цилиндра возможны лишь при  $\theta = \pi/2$ , то при наличии дополнительного листа поверхности Ферми в виде гофрированной плоскости открытые электронные траектории  $\epsilon = \text{const}$  и  $p_H = \mathbf{pH}/H = \text{const}$  появляются при любом направлении магнитного поля. Носители заряда, состояние которых принадлежит листам поверхности Ферми в виде гофрированных плоскостей, совершают дрейф в плоскости, ортогональной магнитному полю, и поперечное сопротивление, когда плотность тока  $\mathbf{j}$  и магнитное поле  $\mathbf{H}$  взаимно ортогональны, оказывается резко анизотропным. Так что обнаружение при  $r_H \ll l$  роста сопротивления с квадратичной зависимостью от  $\mathbf{H}$  при протекании тока, например, вдоль нормали к слоям при различных ориентациях магнитного поля, можно считать подтверждением существования листа поверхности Ферми в виде гофрированной плоскости.

Электроны проводимости по открытым траекториям в импульсном пространстве не могут смещаться на значительное расстояние вдоль нормали к плоскости  $p_x \cos \phi + p_y \sin \phi = 0$ . Усреднив уравнения движения заряда

$$\partial \mathbf{p} / \partial t = \frac{e}{c} (\mathbf{v} \times \mathbf{H}) \quad (5)$$

по достаточно большому интервалу времени, значительно превышающему  $T \approx r_H/v_F$ , где  $v_F$  — характерная фермиевская скорость движения электронов в плоскости слоев, получим следующее соотношение:

$$(\bar{v}_x \cos \phi + \bar{v}_y \sin \phi) \cos \theta = \bar{v}_z \sin \phi \sin \theta, \quad (6)$$

задающее плоскость всевозможных дрейфов носителей заряда в реальном пространстве. В системе координат  $(x_1, x_2, x_3)$  с единичными ортами

$$\mathbf{e}_1 = \frac{1}{[1 - \cos^2 \phi \sin^2 \theta]^{1/2}} \times \\ \times (\cos \phi \cos \theta, \sin \phi \cos \theta, -\sin \phi \sin \theta),$$

$$\mathbf{e}_2 = (\mathbf{e}_3 \times \mathbf{e}_1), \quad \mathbf{e}_3 = \mathbf{H}/H \quad (7)$$

матрица  $\sigma_{ik}^{(1)}$  имеет при  $\gamma \ll 1$  и  $\eta \ll \cos \theta$  следующее асимптотическое выражение:

$$\sigma_{ik}^{(1)} = \begin{pmatrix} \gamma^2 a'_{11} & \gamma a'_{12} & \gamma a'_{13} \\ \gamma a'_{21} & a'_{22} & a'_{23} \\ \gamma a'_{31} & a'_{32} & a'_{33} \end{pmatrix}, \quad (8)$$

где компоненты матрицы  $a'_{ik}$  в предельно сильном магнитном поле, когда  $\gamma$  стремится к нулю, не зависят от  $\gamma$ , а  $(a'_{22} a'_{33} - a'_{23} a'_{32})$  в силу неравенства Шварца всегда больше нуля.

В этой же системе координат в матрице  $\sigma_{ik}^{(2)}$  при  $\theta$ , существенно отличном от  $\pi/2$ , отлична от нуля при стремлении  $\gamma$  к нулю лишь единственная компонента  $\sigma_{33}^{(2)}$ .

Несложные вычисления при  $\eta \ll \cos \theta$  и  $\gamma_0 \ll \cos \theta$  позволяют получить асимптотическое выражение для сопротивления вдоль и поперек слоев в виде

$$\rho_{xx} = \frac{\sigma_1 \sin^2 \phi + \gamma_0^2 \sigma_0}{\gamma_0^2 \sigma_0 (\sigma_0 + \sigma_1)}; \quad (9)$$

$$\rho_{yy} = \frac{\sigma_1 \cos^2 \phi + \gamma_0^2 \sigma_0}{\gamma_0^2 \sigma_0 (\sigma_0 + \sigma_1)};$$

$$\rho_{zz} = \frac{1}{\sigma_{zz}} + \frac{\sigma_1 \cos^2 \phi \sin^2 \theta}{\sigma_0 \gamma_0^2}, \quad (10)$$

где  $\sigma_1$  — наибольшая величина вклада в электропроводность вдоль слоев при  $H = 0$  носителей заряда, состояния которых находятся на открытом листе поверхности Ферми в виде гофрированной плоскости;  $\sigma_{zz} = \sigma_{zz}^{(1)} + \sigma_{zz}^{(2)}$ ;  $\gamma_0 = 1/\Omega_0 \tau$ , а  $\Omega_0$  — частота обращения электрона в магнитном поле при  $\theta = 0$ . В формуле (9), описывающей анизотропию сопротивления в плоскости слоев, и в последнем слагаемом формулы (10) опущены численные множители порядка единицы, зависящие от конкретного вида электронного энергетического спектра. Легко заметить, что при  $\gamma_0 \equiv \eta$  учет второго слагаемого в формуле (10) весьма существен.

Сопротивление току поперек слоев  $\rho_{zz}$  неограниченно растет с увеличением  $H$  даже при отклонении магнитного поля от плоскости слоев, и лишь при  $\phi = \pi/2$  и  $\theta$ , заметно отличном от  $\pi/2$ ,  $\rho_{zz}$  достигает насыщения в сильном магнитном поле и с достаточной степенью точности равняется  $1/\sigma_{zz}^{(2)}$ . В этом случае при некоторых ориентациях магнитного поля резко уменьшается не только  $\sigma_{zz}^{(2)}$ , но  $\sigma_{zz}^{(1)}$ . При этом положения острых пикив в угловой зависимости  $\sigma_{zz}^{(1)}$  и  $\sigma_{zz}^{(2)}$ , как правило, не совпадают.

При  $\phi$ , существенно отличном от  $\pi/2$ , когда  $|\phi - \pi/2| \gg \gamma$ , острые пики в зависимости  $\rho_{zz}$  от  $\theta$  имеют место на достаточно большом фоне квадратичного роста магнитосопротивления органических проводников  $(BEDT-TTF)_2\text{MHg}(\text{SCN})_4$ , однако их все же можно выделить с помощью дифференцирования по  $\theta$  функции  $\rho_{zz}(\theta)$ .

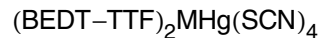
В случае квазидномерного характера энергетического спектра дополнительной группы носителей заряда острые пики в угловой зависимости сопротивления поперек слоев обязаны в основном электронам проводимости с квазидвумерным энергетическим спектром, состояния которых принадлежат листу поверхности Ферми в виде слабогофрированного цилиндра. Это связано с тем, что в магнитном поле, удовлетворяющем условию  $\max\{\eta, \eta_1\} \ll \gamma_0 \ll 1$ , где  $\eta_1$  — степень гофрировки квазидномерного листа поверхности Ферми в плоскости  $p_x p_y$ , движение электронов с квазидномерным энергетическим спектром в импульсном пространстве происходит с почти постоянной скоростью, и  $\sigma_{zz}^{(1)}$  в основном приближении по параметру  $\eta^2$  пропорционально  $\sin^2 \theta$ , а осцилирующие с  $\operatorname{tg} \theta$  слагаемые появляются в следующих приближениях по параметрам низкоразмерности их энергетического спектра  $\eta$  и  $\eta_1$  лишь в области более сильных магнитных полей, когда  $\gamma_0 \leq \max\{\eta, \eta_1\}$ . При этом  $\sigma_{zz}^{(1)}$  оказывается малой поправкой к  $\sigma_{zz}^{(2)}$ , кроме тех ориентаций магнитного поля, когда  $\sigma_{zz}^{(2)}(\sigma_c)$  принимает минимальное значение. Угловые осцилляции  $\sigma_{zz}^{(2)}$  детально теоретически исследованы в случае весьма простой модели поверхности Ферми [13], а также при самых общих предположениях о виде квазидвумерного электронного энергетического спектра [14–19].

Таким образом, исследуя угловую зависимость сопротивления току поперек слоев в широкой области магнитных полей в органических комплексах с переносом заряда  $(BEDT-TTF)_2\text{MHg}(\text{SCN})_4$ ,

можно надежно определить степень квазидномерности дополнительных листов поверхности Ферми в виде гофрированных плоскостей.

1. М. В. Карцовник, В. Н. Лаухин, В. И. Нижанковский, А. А. Игнатьев, *Письма в ЖЭТФ* **47**, 302 (1988).
2. М. В. Карцовник, П. А. Кононович, В. Н. Лаухин, И. Ф. Щеголев, *Письма в ЖЭТФ* **48**, 498 (1988).
3. L. V. Schubnikov and W. J. de Haas, *Leiden Commun.* **207**, 210 (1930).
4. W. J. de Haas and P. M. van Alphen, *Proc. Acad. Sci. (Amsterdam)* **33**, 1106 (1930).
5. L. Onsager, *Philos. Mag.* **43**, 1006 (1952).
6. И. М. Лифшиц, А. М. Косевич, *ЖЭТФ* **29**, 730 (1955).
7. И. М. Лифшиц, В. Г. Песчанский, *ЖЭТФ* **35**, 1251 (1958).
8. И. М. Лифшиц, В. Г. Песчанский, *ЖЭТФ* **38**, 188 (1960).
9. С. П. Новиков, А. Я. Мальцев, *УФН* **168**, 249 (1998).
10. J. Wosnitza, *Fermi Surfaces of Low-Dimensional Organic Metals and Superconductors*, Springer Tracts in Modern Physics (1996).
11. J. Singelton, *Studies of Quasi-Two-Dimensional Organic Conductors Based on BEDT-TTF Using High Magnetic Fields*, Report on Progress in Physics (2000).
12. R. Rossenau, M. L. Doublet, E. Canadell, R. P. Shibaeva, R. P. Rozenberg, N. D. Kushch, and E. B. Jagubskii, *J. Phys. (Paris)* **6**, 1527 (1996).
13. K. Yamagii, *J. Phys. Soc. Jpn.* **58**, 1520 (1989).
14. V. G. Peschansky, J. A. Roldan Lopez, and Toji Gnado Yao, *J. Phys. (Paris)* **1**, 1469 (1991).
15. V. G. Peschansky, *Phys. Rep.* **288**, 305 (1997).
16. В. Г. Песчанский, *ФНТ* **23**, 47 (1997).
17. В. Г. Песчанский, *ЖЭТФ* **112**, 618 (1997) [*Sov. Phys. JETP* **85**, 447 (1997)].
18. V. G. Peschansky and M. V. Kartsovnik, *Phys. Rev.* **B60**, 11207 (1999).
19. V. G. Peschansky and M. V. Kartsovnik, *J. Low Temp. Phys.* **117**, 1717 (1999).

### On magnetoresistance of organic complexes



V. G. Peschansky and Raed Atalla

According to the calculations of the electron energy spectrum for organic complexes  $(BEDT-TTF)_2\text{MHg}(\text{SCN})_4$  (M is one of the metals belonging to the metals K, Rb, or Tl), a group of carriers with a quasi-one-dimensional spectrum is supposed to exist along with the main group of charge carriers possessing the quasi-two-dimensional spectrum. The galvanomagnetic phenomena in quasi-two-dimensional conductors with the Fermi multilayered surface are investigated. A possibility of determining the degree of the quasi-one-dimensionality of an extra group for which the Fermi surface is a corrugated plane is shown.